

# تحلیل مسأله بهینه‌سازی تخصیص ظرفیت در پروکسی‌های SIP و ارائه الگوریتم کنترل اضافه با عدالت Max-Min

مجتبی جهانبخش، سیدوحید ازهربا، وحید قاسمخانی

جريان‌های محلی اولویت بالاتری اختصاص می‌دهد و بنابراین جريان‌های بین دامنه‌ای به گزندگی مناسبی دست پیدا نمی‌کنند. برای حل این چالش در ادامه تابع هدف حداقل مربعات را بررسی می‌نماییم که نتیجه آن فراهم‌شدن عدالت max-min بین جريان‌ها می‌باشد. اين نوع عدالت هنگامی فراهم می‌شود که افزایش تخصیص به يك جريان سبب کاهش تخصیص به جريان‌های دیگر با سهم کمتر یا برابر نشود. اين نکته تضمین می‌نماید که جريان‌های بین دامنه‌ای آسیبی نمی‌بینند.

با توجه به اين که در شرایط عملیاتی، حل مرکزی و یکپارچه مسأله بهینه‌سازی توسط حل کننده<sup>۱</sup>، سربار قابل توجهی داشته و از طرف دیگر با افزایش تعداد جريان‌ها و پروکسی‌ها، زمان محاسباتی نیز بالاتر خواهد رفت، بنابراین برای تخصیص عادلانه بین جريان‌ها از کلاس‌بندی و زمان‌بندی استفاده کرده‌ایم. از طرف دیگر اضافه بار به صورت ناگهانی و پیش‌بینی نشده به وقوع می‌پیوندد و پروکسی‌ها نیازمند واکنش سریع نیز می‌باشند، در غير این صورت ارسال مجدد کاربرها اتفاق افتاده و شرایط وخیم‌تر خواهد شد. در این مقاله به منظور پوشش‌دادن به تخصیص با زمان محاسباتی پایین و همچنین کنترل اضافه بار با واکنش سریع از راهکارهای زیر استفاده شده است:

۱) تخصیص متابع در هر پروکسی با استفاده از يك زمان‌بند نوبت گردشی (RR) انجام می‌شود که تضمین کننده عدالت max-min از دید هر پروکسی (به صورت محلی) بوده و همچنین پیچیدگی محاسباتی پایین (۱) O دارد.

۲) يك روش کنترل اضافه بار ارائه می‌شود که از طریق کنترل طول صفحه جريان‌ها، اضافه بار را کنترل کرده و از ارسال مجددها جلوگیری می‌کند و علاوه بر آن از حداکثر سهم اختصاص داده شده نیز استفاده می‌نماید.

در ادامه اين مقاله، در بخش دوم تحقیقات پیشین مورد ارزیابی قرار می‌گیرد و مسأله بهینه‌سازی NUM و روش‌های توپولوژی و مسأله بهینه‌سازی مربوطه بررسی می‌شوند. در بخش سوم توپولوژی و مسأله بهینه‌سازی مربوطه مطرح و همچنین دو تابع هدف مجموع گزندگی جريان‌ها و حداقل مربعات با ابزار حل کننده بررسی می‌شود. در بخش چهارم روش کنترل اضافه بار ارائه و نتایج آن با نتایج بهینه‌سازی و روش OCC مقایسه می‌شود و در انتهای در بخش پنجم جمع‌بندی انجام می‌گردد.

## ۲- مرور تحقیقات پیشین

در سال ۲۰۰۲ نسخه به روز شده استاندارد SIP [۱] ارائه شد و در آن به منظور کنترل اضافه بار محلی از پیام پاسخ ۵۰۳ برای ردکردن درخواست‌های مازاد بر ظرفیت استفاده شد، هر چند که در تحقیقاتی مثل [۲] و [۳] عدم پایداری استفاده از روش محلی (به تنها‌بی) مشخص شد و

چکیده: پروتکل SIP يك پروتکل لایه کاربرد است که برای ایجاد، مدیریت و اتمام جلسات چندرسانهای در زیرسیستم‌های چندرسانهای IP در نظر گرفته شده است. استفاده وسیع از این پروتکل منجر به حجم بالای ترافیک در پروکسی‌های SIP شده و تخصیص با دقت منابع پردازشی به جريان‌ها را به يك مسأله با اهمیت بالا تبدیل می‌کند. در این مقاله به تحلیل مسأله بهینه‌سازی تخصیص متابع پردازشی در پروکسی‌های SIP می‌پردازیم و دو تابع هدف حداکثرسازی مجموع گزندگی و حداقل‌سازی مربعات را مورد ارزیابی قرار می‌دهیم. تابع هدف حداکثرسازی مجموع گزندگی، به جريان‌های بین دامنه‌ای اوپولیت پایین‌تری را اختصاص می‌دهد زیرا این جريان‌ها برخلاف جريان‌های داخل دامنه‌ای از دو پروکسی میانی عبور می‌کنند. از سوی دیگر، تابع هدف حداقل‌سازی مربعات به سیاست با عدالت max-min متنبھی می‌شود و بنابراین به منظور عملیاتی سازی این نوع سیاست، در پروکسی‌ها از سرویس‌دهی نوبت گردشی (RR) استفاده می‌کنیم و يك الگوریتم ارائه می‌دهیم که با کنترل طول صفحه جريان‌ها، اضافه بار را کنترل کرده و از ارسال مجدد و نایابداری جلوگیری می‌کند. این الگوریتم در مقایسه با روش‌های موجود به استفاده بهتر از متابع پردازشی در پروکسی‌ها منتهی می‌شود.

**کلیدواژه:** اضافه بار، بهینه‌سازی، پروتکل SIP، پروکسی، عدالت max-min

## ۱- مقدمه

گستردگی و تنوع سرویس‌های فراهم‌شده توسط شبکه‌های IP منجر به روی آوردن تکنولوژی‌های مختلف به یکپارچه‌سازی انواع شبکه‌های دسترسی و گرویدن به شبکه‌های نسل آینده ارتباطات شده است. پروتکل SIP [۱] به عنوان پروتکل سیگنالینگ در IMS که بستر پیام‌رسانی در شبکه‌های نسل آینده است در نظر گرفته شده است. سرو اصلی ارائه‌دهنده سرویس در پروتکل SIP، پروکسی نامیده می‌شود. ظرفیت هر پروکسی در ارتباط با دیگر پروکسی‌ها (چه پروکسی‌های اپراتور یکسان و یا دیگر اپراتورها) محدود است و بنابراین پروکسی باید در شرایط اضافه بار علاوه بر استفاده از يك الگوریتم کنترل اضافه بار کارامد که پایداری متناسبی دارد، از حداکثر متابع پردازشی خود نیز استفاده نموده و به پارامترهایی مثل عدالت بین جريان‌های مختلف نیز توجه داشته باشد.

در این مقاله ابتدا با تحلیل مسأله بهینه‌سازی کنترل اضافه بار با تابع هدف مجموع گزندگی جريان‌ها نشان می‌دهیم که این تابع هدف به

این مقاله در تاریخ ۶ مرداد ماه ۱۳۹۵ دریافت و در تاریخ ۲۱ مرداد ماه ۱۳۹۶ بازنگری شد.

مجتبی جهانبخش، دانشکده مهندسی کامپیوتر، دانشگاه علم و صنعت ایران، تهران، (email: m\_jahanbakhsh@comp.iust.ac.ir)

سیدوحید ازهربا، دانشکده مهندسی کامپیوتر، دانشگاه علم و صنعت ایران، تهران، (email: azharivs@iust.ac.ir)

وحید قاسمخانی، دانشکده مهندسی کامپیوتر، دانشگاه علم و صنعت ایران، تهران، (email: vahidgk@gmail.com)

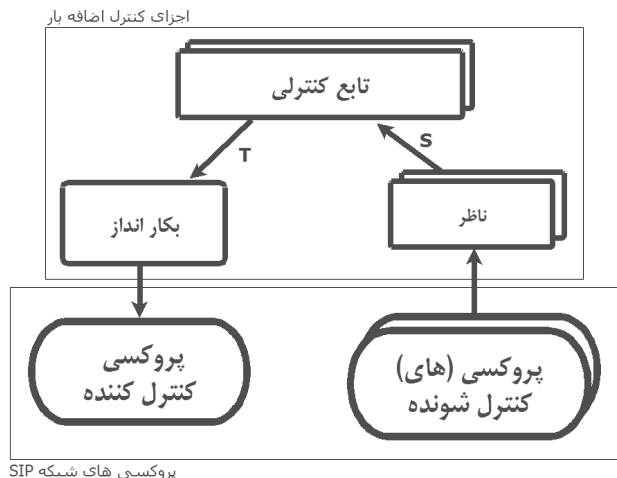
استفاده برای کنترل T می‌تواند مواردی مثل سطل سوراخدار<sup>۵</sup>، ردکردن درصدی، مبتنی بر پنجره، مبتنی بر سطل نشانه<sup>۶</sup> و فراخوانی شکافدار<sup>۷</sup> باشد.

در روش‌های محلی هر پروکسی هم نقش کنترل کننده را دارد و هم نقش کنترل شونده و بنابراین هر سه بخش ناظر، تابع کنترلی و بکارانداز در هر پروکسی به صورت مجزا اجرا می‌شوند و عملاً بازخوردی ارسال نمی‌شود. با توجه به این که هزینه ردکردن تماس‌های مزاد بر ظرفیت، قابل توجه می‌باشد اگر اضافه بار از حد مشخصی بالاتر باشد حتی ردکردن تمامی تقاضاها نیز کنترل اضافه بار و پایداری را به همراه نخواهد داشت [۷]. در روش‌های انتهای واحد ناظر در همه پروکسی‌های یک مسیر واقع شده است حال آن که واحد بکارانداز در پروکسی مبدأ ارسال کننده تقاضاها قرار گرفته است. اشکال این روش پیچیدگی زیاد آن جهت یافتند کلیه مسیرهای منتهی به مقصد مورد نظر و جمع‌بندی اطلاعات به دست آمده برای تصمیم‌گیری در مورد محدودکردن ارسال بسته‌ها به یک مسیر خاص است [۸]. روش‌های انتهای واحد همیشه نمی‌توانند در سطح تک تک مسیرها به کنترل اضافه بار بپردازنند. به عنوان مثال وقتی که یک تقاضا مربوط به یک دامنه مدیریتی دیگر باشد، مسیر در پروکسی مربوط به یک مسیر خاص، بازخورد خود را به پروکسی کنترل کننده که پروکسی ارسال کننده اولیه است ارسال می‌کند. شکل ۱ اجزای روش‌های کنترل اضافه بار را نشان می‌دهد. در این شکل، کنترل اضافه بار یک یا چند پروکسی کنترل شونده که مربوط به یک مسیر مشخص هستند توسعه یک پروکسی کنترل کننده انجام می‌شود. کنترل اضافه بار عموماً از سه بخش ناظر، تابع کنترلی<sup>۸</sup> و بکارانداز<sup>۹</sup> تشکیل شده است.

با توجه به این محدودیتها قسمت عمده روش‌ها و راهکارهای مطرح شده در مقالات و بدنه استانداردسازی مربوط به روش‌های گام به گام می‌باشد (به عنوان مثال [۹] تا [۱۱]). در این روش‌ها بخش بکارانداز بر روی پروکسی بالا دست (در نقش کنترل کننده) و بخش ناظر بر روی پروکسی پایین دست (در نقش کنترل شونده) اجرا می‌شود. عملیاتی تر بودن روش‌های گام به گام منجر به استانداردسازی نحوه تعییه بازخورد در سراسر VIA بسته‌های SIP در [۹] شد. در این کار همچنین یک روش مبتنی بر کاهش درصد نرخ ارسالی، پروکسی پایین دست تعیین می‌کند که پروکسی بالا دست چه درصدی از تقاضاهای خود را رد کند در حالی که مکانیزم استفاده شده در [۱۰] مبتنی بر نرخ می‌باشد که در آن سورپاپین دست مرتبأً به نرخ تقاضاها دریافتی از پروکسی‌های بالا دست خود نظارت می‌کند و میزان نرخ قابل قبول دریافتی خود را به آنها اعلام می‌نماید. این مرجع تنها به نحوه پیاده‌سازی بخش بکارانداز در پروکسی بالا دست و مکانیزم ارسال بازخورد تمرکز داشته و بخش ناظر و تابع کنترلی جهت تعیین درجه اضافه بار را مورد بررسی قرار نمی‌دهد.

روش معرفی شده در مقاله حاضر به صورت گام به گام و مبتنی بر طول صفحه می‌باشد که در آن پروکسی بالا دست، اضافه بار جریان‌ها را با توجه به بازخورد دریافتی، گذردهی و نرخ ورودی کنترل می‌کند. این روش پوشش‌دهنده تمامی اجزای شکل ۱ می‌باشد. بخش ناظر در پروکسی پایین دست هر جریان قرار دارد و به صورت دوره‌ای طول صفحه جریان مربوطه را به پروکسی بالا دست ارسال می‌کند. بخش تابع کنترلی در پروکسی بالا دست قرار دارد و با توجه به بازخورد پایین دست و پارامترهای محاسبه شده محلی، احتمال ردکردن را برای بخش بکارانداز تنظیم می‌نماید.

در حالت اضافه بار از یک پروکسی جریان‌های متعددی عبور می‌کند و



شکل ۱: اجزای کنترل اضافه بار SIP.

نیاز به روش‌های توزیع شده مشخص گردید. روش‌های توزیع شده به دو صورت گام به گام و انتهای انتهای پیاده‌سازی می‌شوند. در روش‌های گام به گام مقدار بازخورد<sup>۱</sup> به طور مستقیم بین هر جفت از پروکسی‌های مجاور منتقل می‌شود در حالی که در روش‌های انتهای انتهای، هر پروکسی مربوط به یک مسیر خاص، بازخورد خود را به پروکسی کنترل کننده که پروکسی ارسال کننده اولیه است ارسال می‌کند. شکل ۱ اجزای روش‌های کنترل اضافه بار را نشان می‌دهد. در این شکل، کنترل اضافه بار یک یا چند پروکسی کنترل شونده که مربوط به یک مسیر مشخص هستند توسعه یک پروکسی کنترل کننده انجام می‌شود. کنترل اضافه بار عموماً از سه بخش ناظر، تابع کنترلی<sup>۸</sup> و بکارانداز<sup>۹</sup> تشکیل شده است.

- ناظر: وظیفه این بخش اندازه‌گیری مقدار بار فعلی پروکسی دارای اضافه بار و ارائه نمونه‌های کنترلی S (Sample) است. پارامترهای کنترلی استفاده شده معمول در مقالات مواردی مثل میزان بار پردازشی CPU (به عنوان مثال [۴])، طول صفحه (به عنوان مثال [۵]) و تأخیر برقراری جلسات قبلی (به عنوان مثال [۶]) می‌باشند. محاسبه پارامتر کنترلی در بخش ناظر، عموماً به صورت دوره‌ای انجام می‌شود.

- تابع کنترلی: پیاده‌سازی الگوریتم کنترل اضافه بار در این بخش قرار دارد. این بخش با توجه به نمونه‌های کنترلی S که از یک یا چند پروکسی جمع‌آوری می‌شود نسبت به میزان پارامتر کاهش T (Throttle) تصمیم‌گیری می‌نماید. این بخش هم می‌تواند در پروکسی کنترل کننده واقع باشد و هم در پروکسی‌های کنترل شونده. در حالت اول پروکسی کنترل کننده بازخوردی که دریافت می‌کند مقدار خام نمونه‌های کنترلی S از جانب یک یا چند پروکسی است (به عنوان مثال CPU) و با توجه به این بازخورددها، مقدار T را به دست می‌آورد. در حالت دوم، تابع کنترلی مستقر در هر پروکسی کنترل شونده، با توجه به پارامتر S بخش ناظر خود (به عنوان مثال CPU) مقدار قابل قبول T را محاسبه کرده و به عنوان بازخورد به پروکسی کنترل کننده ارسال می‌کند.

- بکارانداز: هدف این بخش اعمال پارامتر کاهش T بر روی تقاضاها ورودی در پروکسی کنترل کننده می‌باشد. روش مورد

1. Feedback
2. Monitor
3. Control Function
4. Actuator

5. Leaky Bucket  
6. Token Bucket  
7. Call Gapping

که هر تقاضاً مربوط به یک کاربر مجزا است و مدل کردن کنترل اضافه بار چنین سناریویی عالماً غیر ممکن می‌باشد، پروکسی در نقش بالادست به عنوان منبع تولید ترافیک در نظر گرفته می‌شود.

- پروکسی‌های شبکه SIP باید به نحوی هزینه رდکردن بار مازاد بر ظرفیت را نیز به عهده بگیرند. در TCP منابع تولید ترافیک، خود باید بار ارسالی را کنترل کنند اما در SIP مسأله به این سادگی نیست و منبع تولید ترافیک کاربران هستند که هر کدام تنها به اندازه یک جلسه بار ایجاد می‌کنند. ردکردن بار مازاد بر ظرفیت در پروکسی‌ها، مستلزم استفاده از منابع پردازشی می‌باشد و باید در مسأله بهینه‌سازی اضافه شود.

- سربار روش‌های کنترل اضافه بار کارایی کنترل اضافه بار را تحت تأثیر قرار می‌دهد. در TCP هزینه لینک‌ها عموماً توسط روش‌های ضمنی در منابع تولید ترافیک مشاهده می‌شود و سربار روش استفاده شده در منابع تولید ترافیک نقشی در کارایی لینک‌ها نخواهد داشت در حالی که در SIP، هزینه روش کنترل اضافه بار (ضمنی و یا صریح) تأثیر به سزاپی در کارایی پروکسی دارد.

توبولوژی مطرح شده در این مقاله در قیاس با توبولوژی‌های مطالعه شده در مقالات، توبولوژی پیچیده‌تری می‌باشد. اکثر روش‌های ارائه شده جهت کنترل اضافه بار به بررسی در توبولوژی‌های (مثل ذوقنه و محلی) می‌پردازند [۱۴] تا [۱۷]. تعداد دیگری از مقالات به بررسی توبولوژی‌های کامل‌تری نیز پرداخته‌اند اما ظرفیت پروکسی‌های بالادست را نامحدود در نظر گرفته‌اند و جریان معکوس را نیز در نظر نمی‌گیرند [۸] و [۱۸]. مسأله بهینه‌سازی بررسی شده در این مقاله مربوط به توبولوژی پیچیده‌ای است که در آن ظرفیت همه پروکسی‌ها محدود است و ترافیک بین پروکسی‌ها به صورت گراف کامل با یک یا دو پروکسی میانی و دوطرفه است. نکته دیگر این است که عدالت مد نظر اکثر روش‌های موجود عدالت نسبی است [۱۹] تا [۲۱] که در آن کنترل اضافه بار و تخصیص منابع به جریان‌های با نرخ کمتر آسیب می‌رساند. روش ارائه شده در این مقاله علاوه بر کارایی و پایداری مناسب، دارای عدالت max-min [۲۲] بین جریان‌های هر پروکسی است.

در بخش سوم مسأله بهینه‌سازی تخصیص منابع پردازشی SIP مطرح می‌گردد و دوتابع هدف حداکثرسازی مجموع گذردهی‌ها و همچنین تابع هدف حداقل مربعات بررسی می‌شوند.

### ۳- مسأله بهینه‌سازی تخصیص منابع SIP

در حالت کلی شبکه SIP شامل یک مجموعه  $L$  تابی از پروکسی‌های SIP با ظرفیت  $C_i$  می‌باشد. هر پروکسی این ظرفیت را در دو نقش بالادست و پایین‌دست بین دیگر پروکسی‌ها تقسیم می‌کند. در شکل ۲ یک شبکه SIP با چهار پروکسی نمایش داده شده است ( $L = 4$ ). به عنوان مثال در این شکل نرخ تقاضاهای کاربران پروکسی ۱ به کاربران پروکسی ۲ با  $T_{1,2}$  مشخص شده و در حالت اضافه بار پروکسی ۱ به میزان  $T_{2,1}$  را به پروکسی ۲ ارسال کرده و بقیه را رد می‌کند (بر طبق نتایج مطرح شده در [۲۳] ردکردن تقاضاهای مازاد بر ظرفیت تنها در پروکسی با نقش بالادست انجام می‌شود).

جزء اساسی مکانیزم کنترل اضافه بار، تنظیم نرخ ارسالی به هر پروکسی ( $T_{i,j}$ ) می‌باشد. بنابراین در مسأله بهینه‌سازی باید این پارامتر به نحوی تنظیم شود که تابع هدف حداکثر و یا حداقل شود. نکته دیگر این است که با توجه به این که در حالت اضافه بار ممکن است نرخ تقاضای

پروکسی علاوه بر کنترل مناسب اضافه بار هر جریان، باید در مورد نحوه تعیین سهم جریان‌ها نیز تصمیم‌گیری نماید. سیاست تخصیص سهم جریان‌ها، یک مسأله بهینه‌سازی می‌باشد. در این مقاله با به کارگیری و توسعه مسأله بهینه‌سازی کنترل ازدحام پروتکل TCP به ارائه مسأله بهینه‌سازی تخصیص منابع پردازشی در پروکسی‌های SIP می‌پردازیم. کنترل ازدحام TCP یک مکانیزم توزیع شده جهت اشتراک ظرفیت لینک‌ها در بین کاربرهای در حال رقبت برای به دست آوردن لینک‌ها می‌باشد و شامل دو مؤلفه اساسی است: الگوریتم منبع تولید ترافیک که به طور پویا به تنظیم نرخ ارسالی می‌پردازد و الگوریتم لینک که به صورت ضمنی هزینه را به روز می‌کند. در اینترنت فعلی الگوریتم منبع توسط پروتکل TCP و الگوریتم لینک‌ها توسط روش‌های مدیریت صف (AQM) مثل Drop-Tail و RED ارائه می‌شود. روش‌های مختلف TCP از متريک‌های متفاوتی برای اندازه‌گیری میزان ازدحام استفاده می‌کنند. به عنوان مثال روش Reno از احتمال گم‌شدن بسته‌ها و Vegas از تأخیر صفت به عنوان ملاک ازدحام استفاده می‌کند [۱۲]. کنترل ازدحام TCP از مدل شبکه‌ای با مجموعه  $L$  لینک با ظرفیت محدود  $C = (c_i, l \in L)$  استفاده می‌کند که به صورت مشترک توسط  $N$  منبع تولید ترافیک استفاده می‌شوند (با اندیس  $s$ ). هر کدام از منابع تولید ترافیک از یک سری از لینک‌ها استفاده می‌کند:  $\{L(s)\} = \{s \in N | l \in L(s)\}$  که در این عبارت مجموعه  $\{L(s)\}$  مشخص کننده یک ماتریس  $N \times L$  است ( $R_{ls}$ ) که در آن اگر منبع  $s$  از لینک  $l$  استفاده کند یک و در غیر این صورت صفر است. هر منبع تولید ترافیک  $s$  در هر لحظه به اندازه ( $t_s$ ) تولید ترافیک می‌کند و هر لینک  $l$  در هر لحظه یک مقدار به اندازه ( $\lambda_l$ ) را به عنوان هزینه لینک به روز می‌کند. جمع ترافیک تولید شده در هر لینک باید کوچک‌تر از ظرفیت این لینک باشد. این شبکه به وسیله مسأله بهینه‌سازی<sup>۱</sup> [۱۳] مدل می‌شود که در (۱) نشان داده شده است

$$\begin{aligned} & \text{maximize} \sum_s U_s(x_s) \\ & \text{subject to } Rx \leq c \\ & \text{minimize}_{\lambda \geq 0} D(\lambda) = \\ & \quad \sum_s \max_{x_s \geq 0} (U_s(x) - x_s \sum_l R_{ls} \lambda_l) + \sum_l c_l \lambda_l \end{aligned} \quad (1)$$

با توجه به مسأله بهینه‌سازی (۱) و دوگان آن می‌توان مدل عمومی الگوریتم‌های کنترل ازدحام را استخراج کرده و نشان داد که روش‌های کنترل ازدحام به الگوریتم‌های توزیع شده‌ای تفسیر می‌شوند که (۱) را حل می‌کنند. کنترل ازدحام پروتکل TCP و کنترل اضافه بار پروتکل SIP از نقطه نظر بهینه‌سازی دارای این شاخص است که مسأله آنها توزیع شده بوده و با هدف حداکثرسازی استفاده از منابع می‌باشد. اما تفاوت کنترل ازدحام TCP و کنترل اضافه بار SIP در این است که کنترل ازدحام TCP یک مکانیزم توزیع شده برای استفاده حداکثری از ظرفیت لینک‌ها است در حالی که کنترل اضافه بار SIP یک مکانیزم توزیع شده برای استفاده حداکثری از ظرفیت پروکسی‌ها و علاوه بر آن جلوگیری از اضافه بار در آنها است و بنابراین مسأله اضافه بار SIP دارای پیچیدگی‌های زیر نیز می‌باشد:

- هر پروکسی هم نقش منبع تولید ترافیک را دارد و هم نقش لینک. البته منبع تولید ترافیک واقعی کاربرها می‌باشد اما با توجه به این

جدول ۱: پارامترهای آزمایش مسئله بهینه‌سازی.

$\lambda_{1,1} = 100 \text{ cps}$ , $\lambda_{1,2} = 180 \text{ cps}$ , $C_1 = 460 \text{ cps}$	پروکسی ۱
$\lambda_{2,1} = 50 \text{ cps}$ , $\lambda_{2,2} = 180 \text{ cps}$ , $C_2 = 460 \text{ cps}$	پروکسی ۲
$k = 0$ , $w_{\text{retx}} = 0.1$ , $w_{\text{rej}} = 0.2$	پارامترهای مشترک

### ۱-۳ بهینه‌سازی با تابع هدف مجموع گذرهای

فرض کنید که  $L = 2$  و هر یک از دو پروکسی در ارتباط با پروکسی دیگر هم در نقش بالادست و هم پایین دست ایفا نوشته می‌کند. علاوه بر این هر پروکسی دارای بار محلی نیز می‌باشد. این تپولوژی در شکل ۳ نشان داده است. می‌خواهیم مسئله بهینه‌سازی (۲) را در دو حالت عدمه مورد بررسی قرار دهیم: هنگامی که یک پروکسی در محدوده اضافه بار قرار دارد و هنگامی که هر دو پروکسی در حالت اضافه بار قرار دارند. نتایج این بخش حاصل حل مسئله بهینه‌سازی توسط ابزار CVX [۲۴] می‌باشد.

در صورتی که تابع هدف مجموع گذرهای باشد مسئله بهینه‌سازی برای  $L = 2$  به صورت (۳) درخواهد آمد

$$\begin{aligned} & \max T_{1,1} + T_{1,2} + T_{2,1} + T_{2,2} \\ \text{s.t. } & T_{1,1} + 0.2(\lambda_{1,1} - T_{1,1}) + T_{1,2} + 0.2(\lambda_{1,2} - T_{1,2}) + T_{2,1} \leq C_1 \\ & T_{2,1} + 0.2(\lambda_{2,1} - T_{2,1}) + T_{2,2} + 0.2(\lambda_{2,2} - T_{2,2}) + T_{1,2} \leq C_2 \\ & \dots \leq T_{1,1} \leq \lambda_{1,1}, 0 \leq T_{1,2} \leq \lambda_{1,2}, 0 \leq T_{2,1} \leq \lambda_{2,1}, 0 \leq T_{2,2} \leq \lambda_{2,2} \end{aligned} \quad (3)$$

با توجه به چهار جریان نشان داده شده در شکل ۳ امکان دارد که یک یا هر دو پروکسی در ناحیه اضافه بار قرار گرفته و نیاز به ردکردن تعدادی از تقاضاها در پروکسی‌ها باشد. در ادامه این دو حالت مورد بررسی قرار می‌گیرند.

#### ۱-۳-۱ یک پروکسی در اضافه بار

فرض کنید پارامترهای مسئله بهینه‌سازی (۳) به صورت جدول ۱ باشند. با توجه به پارامترهای جدول ۱، مجموع بار ورودی پروکسی ۱ برابر با ۴۶۰ تماس در ثانیه ( $180 + 100 + 180 + 50$ ) و مجموع بار ورودی پروکسی ۲ برابر با ۴۱۰ تماس در ثانیه ( $180 + 180 + 50 + 80$ ) می‌باشد و بنابراین میزان بار پردازشی پروکسی ۱ و پروکسی ۲ به ترتیب برابر با ۱ و ۰.۸۹ می‌شود. بار پردازشی مطابق با (۴) به طور ساده برابر با مجموع گذرهای عبوری از پروکسی به علاوه هزینه ردکردن بار مازاد و هزینه ارسال مجدها، تقسیم بر ظرفیت آن در نظر گرفته شده است

$$U_i = \frac{\sum_{j \in L} (T_{i,j} + w_{\text{rej}}(\lambda_{i,j} - T_{i,j}) + \lambda_{i,j} k w_{\text{retx}}) + \sum_{j \in L, j \neq i} T_{j,i}}{C_i} \quad (4)$$

با اضافه شدن نرخ هر کدام از جریان‌های مربوط به پروکسی ۱، این سرور در محدوده اضافه بار قرار گرفته و نیاز به کنترل اضافه بار آن می‌باشد.

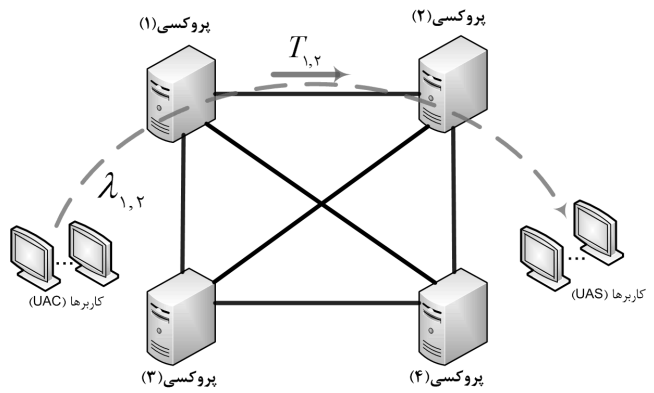
سؤالات زیر قابل تأمل است:

- بالاتر رفتن هر کدام از بارهای محلی ( $\lambda_{1,1}$ ، خروجی ( $\lambda_{1,2}$ ) و ورودی ( $\lambda_{2,1}$ ) چه تأثیری در گذرهای پروکسی دارای اضافه بار دارد؟

- پروکسی ۲ در بالاتر رفتن تابع هدف چه نقشی می‌تواند داشته باشد؟

- در چه حالت‌هایی پروکسی ۲ نیز دچار اضافه بار خواهد شد؟

بر طبق نتیجه حل (۴) توسط ابزار CVX، بالاتر رفتن ترافیکی که از پروکسی ۱ شروع می‌شود ( $\lambda_{1,1}$  و  $\lambda_{1,2}$ ) رفتار متفاوتی با ترافیک دریافتی (۴) خواهد داشت. با بالا رفتن بار  $\lambda_{1,2}$  و یا  $\lambda_{1,1}$  گذرهای  $T_{2,1}$  کاهش

شکل ۲: سناریوی شبکه مبتنی بر SIP با  $L = 4$ .

ارسالی در نقش بالادست از یک پروکسی به پروکسی دیگر ( $\lambda_{i,j}$ ) از طرفیت اختصاص داده شده بالاتر باشد، مقداری از تقاضاها با هزینه رد می‌شوند و میزان گذرهای عبوری برابر با  $T_{i,j}$  خواهد بود. با توجه به این فرضیات مسئله بهینه‌سازی به صورت (۲) تعریف خواهد شد

$$\begin{aligned} & \max \sum_{i,j \in L} U_{i,j}(T_{i,j}) \\ \text{s.t. } & \sum_{j \in L} (T_{i,j} + w_{\text{rej}}(\lambda_{i,j} - T_{i,j}) + \lambda_{i,j} k w_{\text{retx}}) + \\ & \sum_{j \in L, j \neq i} T_{j,i} \leq C_i, \quad i \in L \\ & \dots \leq T_{i,j} \leq \lambda_{i,j}, \quad i, j \in L \end{aligned} \quad (2)$$

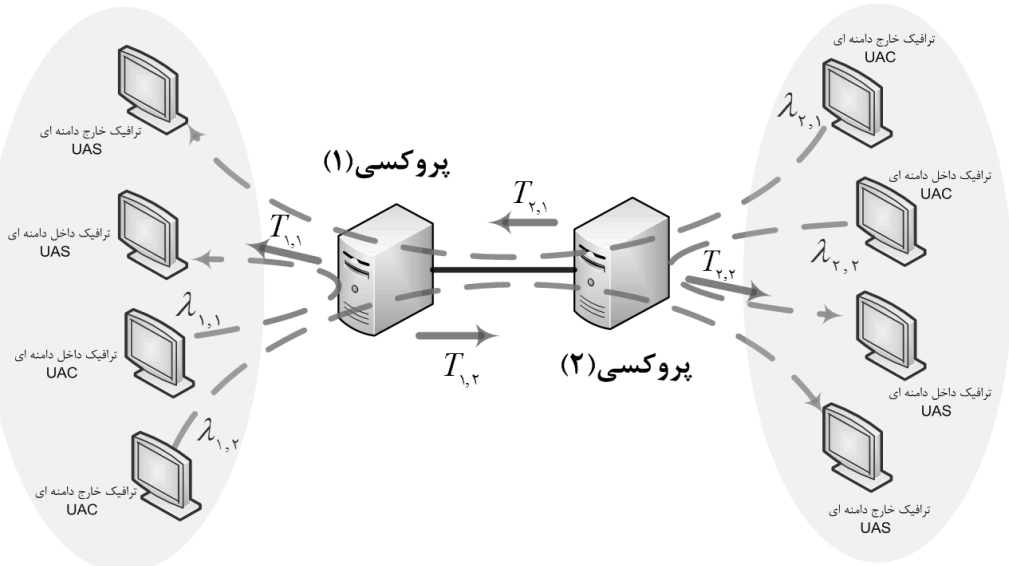
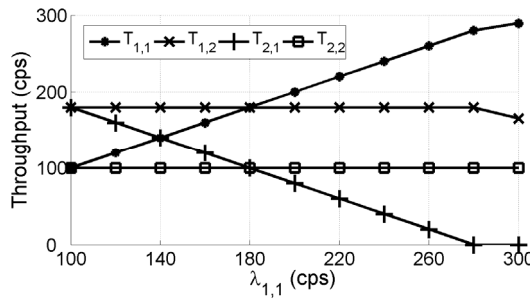
قید اول این مسئله به منظور تقسیم ظرفیت پروکسی بین دیگر پروکسی‌ها در دو نقش بالادست و پایین دست نوشته شده است. در این عبارت ظرفیت پروکسی  $i$  باید بزرگ‌تر یا مساوی با مجموع هزینه‌های زیر باشد:

- $T_{i,j}$ : گذرهای ارسالی پروکسی به سمت دیگر پایین دست‌ها.
- $(\lambda_{i,j} - T_{i,j}).w_{\text{rej}}$ : سریار ردکردن بار مازاد ظرفیت پایین دست‌ها.
- $\lambda_{i,j} k w_{\text{retx}}$ : هزینه فرستادن ارسال مجدد تقاضاها هنگامی که پایین دست‌ها به علت واقع شدن در اضافه بار فرصت نمی‌کند پیام وقت مثل ۱۰۰-Trying ۱۰۰-Ringing را به موقع ارسال کنند. ترم سوم این عبارت برای حالاتی نوشته شده است که بار دریافتی در پروکسی بالادست به متوسط تعداد  $k$  بار ارسال مجدد شده باشد.

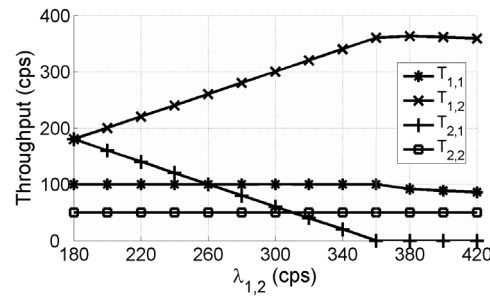
-  $T_{j,i}$ : گذرهای دریافتی از پروکسی‌های بالادست.

قید دوم مسئله بهینه‌سازی تعیین می‌کند که تمامی گذرهای ( $T_{i,j}$ ) و بارهای ورودی ( $\lambda_{i,j}$ ) باید یک مقدار غیر منفی باشند و هیچ کدام از گذرهایی‌ها از ترافیک ورودی متناظر خود نمی‌تواند بالاتر باشد. تابع هدف (۲) مجموع بهره‌وری هر کدام از جریان‌های ترافیکی است و بهره‌وری هر جریان ترافیکی تابعی از گذرهای ارسال شده می‌باشد.

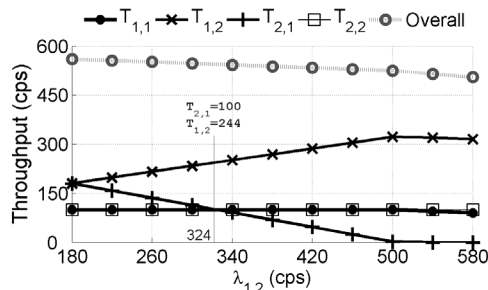
در ادامه این بخش ابتدا مسئله بهینه‌سازی با تابع هدف مجموع گذرهای مورد بررسی قرار می‌گیرد و در ادامه عدالت max-min بین جریان‌ها مطالعه می‌شود. قابل ذکر است که به منظور بررسی ساده‌تر، تنها سناریوی با دو پروکسی مورد ارزیابی قرار می‌گیرد، هر چند که با توجه به جامع‌بودن مسئله بهینه‌سازی، نتایج برای هر تعداد پروکسی معتبر و قابل تعمیم خواهد بود. نکته دیگر این است که در هر آزمایش تنها یکی از نرخ‌های ورودی که نقش کلیدی در رفتار پروکسی دارد تغییر می‌کند، هر چند که تغییر هم‌زمان همه نرخ‌ها با نتایج به دست آمده در این بخش مطابقت می‌کند.

شکل ۳: سناریوی شبکه SIP با  $L = 2$ .

شکل ۴: تأثیر افزایش بار محلی پروکسی ۱ وقتی که هر دو پروکسی در حالت اضافه بار قرار دارند.



شکل ۵: تأثیر افزایش بار محلی پروکسی ۱ وقتی که هر دو پروکسی در حالت اضافه بار قرار دارند.

شکل ۶: تأثیر افزایش بار  $\lambda_{1,2}$  وقتی که هر دو پروکسی در حالت اضافه بار قرار دارند.  
- بار محلی افزایش یابد.  
- ترافیک بین دامنه‌ای افزایش یابد.

طبق شکل ۵ با افزایش بار محلی پروکسی ۱ ( $\lambda_{1,1}$ )، پروکسی ۲ با ردکردن بار ارسالی خود به پروکسی ۱ و کاهش گذردهی  $T_{2,1}$  به افزایش گذردهی مجموع کمک می‌کند. این نتیجه با توجه به این نکته حاصل می‌شود که بار محلی تنها از یک پروکسی عبور می‌کند و بنابراین پروکسی دیگر با ردکردن باری که از هر دو پروکسی عبور می‌کند ( $\lambda_{1,2}$ ) به افزایش گذردهی مجموع کمک می‌کند. نکته جالب توجه دیگر این است که در این سناریو منابع پردازشی پروکسی ۲ پایین‌تر آمده و از حالت اضافه بار خارج می‌شود. در نرخ ۲۸۰ تماس در ثانیه استفاده از منابع پردازشی در پروکسی ۲ تا مقدار ۶۸ پایین می‌آید که می‌تواند در ارتباط با دیگر پروکسی‌ها و یا بار محلی به طور مناسبی از آن استفاده کرد. در شکل ۶ تأثیر افزایش بار بین دامنه‌ای  $\lambda_{1,2}$  نشان داده شده است. در این آزمایش به منظور رسیدن به حداقل گذردهی مجموع، نرخ ردکردن و

می‌یابد. در حقیقت وظیفه ردکردن تقاضاها به پروکسی ۲ موکول می‌شود تا سربار ردکردن در پروکسی دارای اضافه بار وجود نداشته باشد. به عنوان مثال مطابق با شکل ۴ در صورت اضافه شدن  $\lambda_{1,2}$ ، فرایند کاهش  $T_{2,1}$  تا جایی ادامه پیدا می‌کند که گذردهی ارسالی از پروکسی ۲ به پروکسی ۱ به صفر بررسد. در نرخ‌های بالاتر از  $= 360 \lambda_{1,2}$  گذردهی  $T_{2,1}$  برابر صفر می‌باشد و پروکسی ۱ به ناچار سربار ردکردن تقاضاها مازاد بر ظرفیت ( $\lambda_{1,1}$  و یا  $\lambda_{1,2}$ ) را به قیمت کاهش گذردهی خود متحمل می‌شود.

در آزمایش دیگر فرض کنید که  $\lambda_{1,2} = 180$  تماس در ثانیه است و ترافیک  $\lambda_{1,1}$  افزایش یابد. در این حالت پروکسی ۲ تا جایی که ظرفیت پردازشی داشته باشد با کنترل گذردهی ارسالی به پروکسی ۱ ( $T_{1,1}$ ) از ایجاد بار اضافه در پروکسی ۱ جلوگیری می‌کند. با بالارفتن  $\lambda_{1,1}$  به نقطه‌ای خواهیم رسید که منابع پردازشی هر دو پروکسی برابر یک خواهد شد. در صورت حل مسأله بهینه‌سازی با فرضیات جدول ۱ و  $\lambda_{1,1} = 430$  تماس در ثانیه در نقطه‌ای قرار داریم که هر دو پروکسی در نقطه بار پردازشی برابر با یک تماس  $T_{1,1} = 180$  تماس در  $T_{2,1} = 180$  تماس در ثانیه است. در این نقطه منابع پردازشی پروکسی ۲ طبق (۴) یک است  $(U_2 = 180 + 180 + 50 + 50 + 180 + 180 + 430) = 1460$ .

### ۳-۲-۲ هر دو پروکسی در اضافه بار

فرض کنید که پارامترها مشابه جدول ۱ و تنها  $\lambda_{1,2} = 100$  تماس در ثانیه است. با توجه به این مقادیر بار ورودی هر دو پروکسی برابر با ۴۶۰ تماس در ثانیه و میزان بار پردازشی هر دو ۱ می‌باشد. با هر تماس دیگر چه محلی و یا غیر محلی اضافه بار ایجاد خواهد شد. بر اساس نتایج CVX دو حالت متفاوت ایجاد خواهد شد:

که در این عبارت  $C_{i,j}^{(i)}$  سهم اختصاص داده شده در پروکسی  $i$  به جریان  $j$ ،  $i$  و همچنین  $L$  تعداد جریان‌های عبورکننده از این پروکسی می‌باشد.تابع هدف (۶) به این منظور انتخاب شده که مجموع اختلاف بین سهم فرضی عادلانه جریان‌ها ( $C_i/L$ ) و سهم اختصاص یافته، حداقل شود. مسأله بهینه‌سازی (۶) نسبت به (۲) دو تغییر دارد. تفاوت اول قید تخصیص ظرفیت است که به مساوی تبدیل شده است. تابع حداقل مربعات در صورتی به عدالت max-min منجر می‌شود که مسأله بهینه‌سازی به صورت محدود می‌شود (work-conserving). تابع حداقل مربعات در صورتی به عدالت max-min منجر می‌شود که مسأله بهینه‌سازی را متوجه نقطی می‌کنیم که مجموع بار ورودی بیشتر از ظرفیت باشد  $\sum_{j \in L} \lambda_{i,j} + \sum_{j \in L, j \neq i} \lambda_{j,j} \geq C_i$  و به منظور استفاده از تمامی ظرفیت، قید ظرفیت را مساوی در نظر می‌گیریم. تفاوت دیگر این است که برخلاف مسأله بهینه‌سازی (۲) که تخصیص منابع همه پروکسی‌ها را به صورت سراسری و یک جا انجام می‌دهد، در (۶) هر پروکسی ( $i \in L$ ) به طور جداگانه به حل مسأله مربوط به خود می‌پردازد. این انتخاب به این علت صورت گرفته است که با توجه به توزیعی بودن مسأله کنترل اضافه بار SIP، حل جدآگاهه تخصیص منابع در هر پروکسی به صورت مجزا از نظر پیاده‌سازی عملیاتی تر می‌باشد.

فرض کنید پارامترهای مسأله مشابه جدول ۱ هستند با این تفاوت که  $\lambda_{i,i} = 100$  و  $\lambda_{j,j} = 324$  می‌باشند. در جدول ۲ نتیجه حل برای سه مقدار متفاوت  $\lambda_{i,j}$  و سه سیاست متفاوت قرار دارد: طبق مسأله بهینه‌سازی (۲)، مسأله بهینه‌سازی (۶) و عدالت max-min سراسری. هنگامی که  $\lambda_{i,j}$  برابر با ۱۸۰ تماش در ثانیه است نتیجه حل مسأله بهینه‌سازی (۶) توسط پروکسی ۱ برای  $T_{i,1}$  و  $T_{i,2}$  به ترتیب برابر با ۱۰۰ و ۱۴۴ و تماش در ثانیه به دست می‌آید. در حقیقت پروکسی ۱ به منظور رعایت عدالت max-min بعد از کنارگذاشتن سهم جریان  $i$  که کمترین تقاضا است بقیه ظرفیت باقیمانده (۳۶۰) را به صورت یکسان بین دو جریان دیگر تقسیم می‌کند و به هر جریان گذردهی ۱۸۰ اختصاص می‌دهد. بنابراین جریان  $j$  موظف است که این ظرفیت را صرف پذیرش ۱۴۴ تماش و رکوردن بار مازاد خود بکند ( $100 \times 0.2 = 20$  و  $324 \times 0.2 = 64.8$ ). در حالی که جریان  $i$  که تقاضایی در حد سهم عادلانه خود دارد می‌تواند از سهم خود برای رسیدن به گذردهی ۱۸۰ استفاده نماید. حل مسأله بهینه‌سازی در پروکسی ۲ برای  $T_{i,1}$  و  $T_{i,2}$  به ترتیب برابر با ۱۰۰ و ۱۸۰ تماش در ثانیه به دست می‌آید. هر چند که پروکسی ۲ برای جریان  $i$  گذردهی ۱۸۰ در نظر می‌گیرد اما پروکسی ۱ به علت رعایت عدالت بین جریان‌های خود موفق به ارسال بیشتر از ۱۴۴ تماش نمی‌شود. نتیجه جالب این است که در صورت افزایش  $\lambda_{i,j}$ ، هر دو پروکسی دچار کمباری می‌شوند. مثلاً هنگامی که  $\lambda_{i,j}$  برابر با ۳۲۴ است هر دو پروکسی برای جریان ارسالی خود به پروکسی دیگر گذردهی ۱۴۴ را محاسبه کرده و برای جریان دریافتی از پروکسی دیگر سهم فرضی ۱۸۰ را در نظر می‌گیرند، هر چند که پروکسی دیگر به دلیل رعایت عدالت تنها از ۱۴۴ سهم خود استفاده می‌کند.

در ستون سوم جدول ۲ نتیجه قابل قبول برای عدالت سراسری با توجه به مفهوم عدالت max-min استخراج شده است. به عنوان مثال هنگامی که  $\lambda_{i,j}$  برابر با ۲۳۲ باشد، عادلانه‌ترین حالت وقتی اتفاق خواهد افتاد که بعد از اختصاص سهم ۱۰۰ برای هر یک از دو جریان محلی، بقیه ظرفیت دو پروکسی به نحوی تقسیم شوند که ابتدا سهم جریان کمتر ( $\lambda_{i,j}$ ) مشخص شود و جریان بیشتر ( $\lambda_{j,i}$ ) از سهم مشخص شده عادلانه خود

جدول ۲: حل مسأله با سه سیاست متفاوت.

سراسری	max-min	عدالت	عداالت در هر	حداکثر مجموع	حداکثر طبق (۲)
۱۸۰	$T = \begin{bmatrix} 100 & 244 \\ 100 & 100 \end{bmatrix}$	$T = \begin{bmatrix} 100 & 144 \\ 180 & 100 \end{bmatrix}$	$T = \begin{bmatrix} 100 & 144 \\ 180 & 100 \end{bmatrix}$	$T_{Overall} = 544$	$T_{Overall} = 524$
۲۳۲	$T = \begin{bmatrix} 100 & 215.1 \\ 123.1 & 100 \end{bmatrix}$	$T = \begin{bmatrix} 100 & 144 \\ 167 & 100 \end{bmatrix}$	$T = \begin{bmatrix} 100 & 151.2 \\ 174.2 & 100 \end{bmatrix}$	$T_{Overall} = 548.2$	$T_{Overall} = 525.4$
۳۲۴	$T = \begin{bmatrix} 100 & 164 \\ 164 & 100 \end{bmatrix}$	$T = \begin{bmatrix} 100 & 144 \\ 144 & 100 \end{bmatrix}$	$T = \begin{bmatrix} 100 & 164 \\ 164 & 100 \end{bmatrix}$	$T_{Overall} = 58$	$T_{Overall} = 528$

گذردهی به نحوی انتخاب می‌شود که از حدکثر منابع دو پروکسی استفاده شود. در حقیقت در این حالت دو پروکسی سریار رکوردن نرخ مازاد را بین هم تقسیم می‌کنند. به عنوان مثال در نرخ  $\lambda_{i,j} = 324$  برای رسیدن به حداکثر مقدار تحلیلی گذردهی باید (۵) حل شود

$$\begin{cases} T_{i,2} + (324 - T_{i,2}) \times 0.2 + T_{i,1} = 36 \\ T_{i,1} + (180 - T_{i,1}) \times 0.2 + T_{i,2} = 36 \\ \Rightarrow T_{i,2} = 244, T_{i,1} = 100 \text{ cps} \end{cases} \quad (5)$$

### ۲-۳ رعایت عدالت max-min بین جریان‌ها

مطابق نتایج بخش قبل در صورتی که تابع هدف مسأله، حداکثرسازی مجموع گذردهی‌ها باشد خواهیم داشت:

- اگر یک پروکسی دارای اضافه بار باشد بهتر است که دیگر پروکسی‌ها بار ارسالی خود به پروکسی مذکور را کنترل کنند تا مجموع گذردهی بالاتری حاصل شود.
- اگر تمامی پروکسی‌ها دارای اضافه بار باشد ترافیک محلی از اولویت بالاتری برخوردار می‌باشد. همچنین ترافیک ارسالی و دریافتی بین پروکسی‌ها باید به نحوی تنظیم شود که همچنان از حداکثر منابع پردازشی استفاده شود.
- تابع حداکثرسازی مجموع گذردهی‌ها برای سورهای یک خوش که نقش یکسانی دارند مناسب می‌باشد اما هنگامی که پروکسی‌های مربوط به نقاط جغرافیایی غیر یکسان، ارائه‌دهندگان سرویس غیر یکسان و یا دارای نقش غیر یکسانی باشند، در نظر داشتن پارامترهایی مثل رعایت عدالت بین جریان‌ها نیز قابل اهمیت می‌شود. برای اضافه‌شدن عدالت به مسأله بهینه‌سازی لازم است که تابع هدف تغییر کند. با استناد به [۲۲] در مسأله تخصیص منابع (۲)، تابع هدف حداقل مربعات با رعایت شرایطی (که در ادامه توضیح داده می‌شود) به عدالت max-min منتهی می‌شود. بنابراین (۲) را به صورت (۶) بازنویسی می‌کنیم

$$\begin{aligned} \min \sum_{j \in L} (C_{i,j}^{(i)})^2 + \sum_{j \in L, j \neq i} (T_{j,i} - \frac{C_i}{L})^2 \\ \text{s.t. } C_{i,j}^{(i)} = T_{i,j} + w_{rej}(\lambda_{i,j} - T_{i,j}) + \lambda_{i,j} k w_{retx}, \quad j \in L \\ \sum_{j \in L} C_{i,j}^{(i)} + \sum_{j \in L, j \neq i} T_{j,i} = C_i \\ \cdot \leq T_{i,j} \leq \lambda_{i,j}, \quad \cdot \leq T_{j,i} \leq \lambda_{j,i}, \quad j \in L \end{aligned} \quad (6)$$

$$\rho_{i,j} = \max\left[\frac{C_{i,j}^{(i)}}{1 - \frac{\lambda_{i,j}}{w_{rej}}}, 1 - \frac{C_{i,j}^{(j)}}{\lambda_{i,j}}\right], \quad i, j \in L \quad (8)$$

که در این عبارت احتمال رددکردن ( $\rho$ ) برابر با مقدار بیشتر از بین دو احتمال به دست آمده برای کنترل اضافه بار در پروکسی بالادست و پایین دست (به ترتیب) است. به منظور این که احتمالات محاسبه شده در (8) به استفاده کارا از منابع و همچنین جلوگیری از ناپایداری، ارسال مجدد و افت گذردهی منجر شود دو پارامتر دیگر نیز مورد استفاده قرار می‌گیرد:

- (1)  $\alpha C_{i,j}$ : مقدار آستانه چهت پذیرش بار مزاد که در صفحه قرار می‌گیرد به این امید که در آینده تزدیک برای پردازش آن ظرفیت آزاد شود. مقدار  $\alpha$  وابسته به تأخیر شبکه و مهم‌تر از آن تایمیر  $T$  مورد استفاده در پروتکل SIP است. پارامتر  $T$  عموماً برابر با ۵۰۰ میلی ثانیه در نظر گرفته می‌شود و در صورتی که منقضی شود تقاضای مربوطه ارسال مجدد می‌شود. ارسال مجدد سبب وخیم تر شدن شرایط اضافه بار می‌گردد و بنابراین باید تا حد امکان از آن جلوگیری کرد. به طور مثال برای جلوگیری از ارسال مجدد به یک پروکسی با فقط یک جریان و با فرض تأخیر ناچیز شبکه، طول صفحه داکتر می‌تواند برابر با  $0.5$  باشد. مقدار  $\alpha$  در حالت کلی  $\alpha < (T_i - D_{RTT})/L$  است که در آن  $L$  تعداد جریان‌های عبوری از پروکسی می‌باشد و  $D_{RTT}$  تأخیر شبکه برای دریافت پاسخ موقت در ارسال کننده تقاضا و جلوگیری از ارسال مجدد در آن است.

(2)  $Q_{i,j}$ : این پارامتر مشخص کننده طول فعلی صفحه تقاضا می‌باشد و باید از پارامتر  $\alpha C_{i,j}$  کم شود تا در صورتی که در بردههای قبل مقداری بار مزاد پذیرش شده و پروکسی موفق به کاهش طول صفحه نشده است، در برده فعلی دوباره ظرفیت مزاد اختصاص داده نشود.

بنابراین فرمول نرخ رددکردن بار مزاد جریان  $i$  به ز در پروکسی کنترل کننده اضافه بار  $i$  به صورت (9) می‌باشد

$$\begin{aligned} \rho_{i,j} &= \max[\rho_{i,j}^{(i)}, \rho_{i,j}^{(j)}], \quad i, j \in L \\ \rho_{i,j}^{(i)} &= \frac{[(1+\alpha)C_{i,j}^{(i)} - Q_{i,j}^{(i)}]}{1 - \frac{\lambda_{i,j}}{w_{rej}}} \\ \rho_{i,j}^{(j)} &= 1 - \frac{(1+\alpha)C_{i,j}^{(j)} - Q_{i,j}^{(j)}}{\lambda_{i,j}} \end{aligned} \quad (9)$$

در شکل ۷ شبهه‌کد الگوریتم استفاده شده در پروکسی بالادست نشان داده شده است. بخش تابع کنترلی پروکسی بالادست به صورت دوره‌ای (۰، ۱، ۰، ۱) (به ترتیب در شبیه‌سازی) اجرا می‌شود و در هر برده با توجه به پارامتر  $Q_{i,j}^{(j)}$  که از پروکسی پایین دست دریافت کرده است و همچنین مقادیر محاسبه شده  $\rho_{i,j}^{(i)}$  و  $C_{i,j}^{(i)}$  و  $C_{i,j}^{(j)}$  و طول صفحه فعلی خود ( $Q_{i,j}^{(i)}$ ) مقدار  $\rho_{i,j}$  را محاسبه می‌کند. قابل ذکر است هنگام شروع به کار و یا بعد از صفر بودن بار ورودی برای این که روش بر روی گذردهی صفحه ثابت نماند در صورتی که مقدار گذردهی صفحه باشد برابر با مقدار  $T_{min}$  تنظیم می‌شود. بخش تابع کنترلی بعد از محاسبه  $\rho_{i,j}$ ، پارامترهای محاسبه شده  $\lambda_{i,j}$  و  $T_{i,j}$  را برابر با صفحه قرار می‌دهد تا این مقادیر مجدداً برای برده بعد محاسبه شوند. بخش پردازش پروکسی به منظور تخمین  $\lambda_{i,j}$  و  $T_{i,j}$  از دو شمارنده ساده استفاده می‌کند که با دریافت هر INVITE

برای رددکردن بار مزادش استفاده کند. به عبارت دیگر

$$\begin{aligned} T_{i,j} &= T_{i,j} \\ T_{i,j} + (232 - T_{i,j}) \times 0.2 + T_{i,j} &= 360 \Rightarrow T_{i,j} = 174/2 \\ T_{i,j} + (324 - T_{i,j}) \times 0.2 + 174/2 &= 360 \Rightarrow T_{i,j} = 151/2 \end{aligned} \quad (V)$$

در بخش بعد یک الگوریتم عادلانه max-min ارائه خواهد شد که مسئله بهینه‌سازی (6) را حل می‌کند. همان طور که مشاهده شد (6) به علت محاسبه مجزا در پروکسی‌ها و رعایت عدالت، سبب کمباری پروکسی‌ها خواهد شد. البته در شرایط واقعی در هنگام اضافه بار، ظرفیت مزاد تابعی از روش کنترل اضافه بار بوده و به نحوی بین پروکسی‌ها تقسیم می‌شود. هدف الگوریتم ارائه شده نزدیک بودن به تخصیص مطابق با سیاست رعایت‌شده در ستون سوم جدول ۲ می‌باشد.

#### ۴- الگوریتم کنترل اضافه بار

هزینه هر تماس در مسئله بهینه‌سازی (6) برابر با دیگر تماس‌ها است و بنابراین یک راه ساده و کارا برای رسیدن به عدالت max-min استفاده از سیاست پردازشی نوبت گردشی<sup>۱</sup> در هر پروکسی می‌باشد. با چنین سیاستی جریان‌هایی که بار ورودی بیشتر از سهم عادلانه داشته باشند تنها به خود لطفه می‌زنند. پردازش نوبتی جریان‌ها در هر پروکسی نیازمند یک بخش کلاس‌بندی کننده<sup>۲</sup> جریان‌ها است که وظیفه دارد تقاضاها را از صفحه اصلی پروکسی برداشته و بر اساس نام پروکسی بالادست و پایین دست جدا کرده و در صفحه جریان مربوطه قرار دهد ( $Q_{i,j}$ ). بخش مورد نیاز دیگر زمان‌بند<sup>۳</sup> می‌باشد که به صورت نوبت گردشی تقاضاها را از صفحه جریان‌ها بر می‌دارد.

همان طور که در بخش سوم ذکر شد، در حالت اضافه بار بعضی از پیام‌ها با هزینه  $w_{rej}$  رد می‌شوند و بنابراین دو نوع پیام با وزن ۱ و  $w_{rej}$  (به ترتیب برای تماس‌های موفق و ردشده) وجود دارد و پردازش RR به تنهایی منجر به عدالت max-min نمی‌شود. راهکار استفاده شده برای هزینه متفاوت تقاضاهایی که رد می‌شوند استفاده از اعتبار مجدد<sup>۴</sup> در بخش زمان‌بند پروکسی می‌باشد. به عبارت دیگر هنگامی که یک تقاضا رد می‌شود، پروکسی به جریان مربوطه به اندازه  $1 - w_{rej}$  اعتبار مجدد احتساب می‌دهد و بعد از این که مجموع اعتبار مجدد یک جریان برابر با ۱ شد به آن یک نوبت جدید تعلق می‌گیرد. این راهکار مشابه با روش DRR در [۲۵] بوده و پیچیدگی محاسباتی (۱) O دارد.

با توجه به تپیل‌ژوئی مورد مطالعه، امکان دارد که اضافه بار یک جریان ناشی از کمبود ظرفیت در پروکسی بالادست و یا پایین دست باشد. سهم اختصاص داده شده به یک جریان در پروکسی بالادست طبق فرمول  $T_{i,j} + w_{rej}(\lambda_{i,j} - T_{i,j}) + \lambda_{i,j}kw_{retx} = C_{i,j}^{(i)}$  و در پروکسی پایین دست طبق فرمول  $T_{i,j} = C_{i,j}^{(j)}$  می‌باشد. هدف روش ارائه شده در این مقاله کنترل طول صفحه و جلوگیری از ارسال مجدد است و بنابراین پارامتر  $k$  را برابر صفحه در نظر می‌گیریم (در ادامه در مورد پارامتر  $\alpha$  و مقدار قابل قبول برای جلوگیری از ارسال مجدد نیز صحبت می‌شود). احتمال رددکردن برابر با  $\rho_{i,j} = 1 - T_{i,j}/\lambda_{i,j}$  می‌باشد و بنابراین بسته به این که اضافه بار ناشی از کمبود ظرفیت در پروکسی بالادست و یا پایین دست باشد می‌توان احتمال رددکردن را به صورت (۸) نوشت

1. Round Robin
2. Classifier
3. Scheduler
4. Credit

پروکسی ۴۶۰ تماس در ثانیه در نظر گرفته شده است. هر یک از نتایج حاصل میانگین گیری پنج بار آزمایش می‌باشد.

در نمونه نرخ ورودی اول، میانگین گذردهی الگوریتم برای نرخ‌های آزمایش تقریباً مشابه با جواب مسأله بهینه‌سازی می‌باشد و این مورد نشان‌دهنده قابلیت روش ارائه‌شده در شرایط نزدیک به اضافه بار است در حالی که مجموع گذردهی‌ها در روش OCC بسیار پایین‌تر از روش ارائه‌شده است. مهم‌ترین پارامتر این روش  $\rho_{target}$  است که به عنوان میزان بهره‌وری هدف از منابع پردازشی تنظیم می‌شود. مطابق [۸] این پارامتر برابر با  $0.9$  تنظیم شده است. به عبارت ساده در روش OCC در شرایط اضافه بار، پروکسی‌ها حداکثر از  $0.9$  ظرفیت خود استفاده می‌کنند. البته بالاتر بردن این مقدار در شرایطی که بار ناگهانی به پروکسی وارد می‌شود آن را دچار ناپایداری می‌کند.

در نمونه نرخ ورودی دوم، جواب حل (۶) برای هر چهار جریان برابر با  $141.67$  می‌باشد در حالی که گذردهی میانگین به دست آمده از الگوریتم برابر با  $143$  تماس در ثانیه به دست می‌آید. علت بالاتر بودن جواب الگوریتم از حل (۶) همان طور که در بخش ۲-۳ ذکر شد از کم‌باری ناشی از حل محلی مسأله بهینه‌سازی نتیجه می‌شود. به عبارت دیگر حل مسأله بهینه‌سازی در پروکسی ۱ برای هر جریان، سهم  $153.33$  را در نظر می‌گیرد. جریان‌های  $\lambda_1$  و  $\lambda_2$  باید از این سهم برای رسیدن به گذردهی  $141.67$  و همچنین رده کردن  $58.33$  تماس با هزینه  $11.67$  (هر تماس هزینه  $0.2$ ) استفاده کنند در حالی که جریان ورودی  $\lambda_3$  حداکثر می‌تواند از مقدار  $141.67$  از سهم خود استفاده کند ( $C_{\lambda_3}^{(1)} = T_{\lambda_3}^{(1)}$ ) و بنابراین مقدار  $11.67$  از سهم در نظر گرفته شده در پروکسی ۱ بلااستفاده می‌ماند. گذردهی بالاتر الگوریتم ارائه‌شده ناشی از تقسیم این مقدار بلااستفاده در دو پروکسی به طور مساوی در بین جریان‌ها می‌باشد. همان‌طور که مشاهده می‌شود روش OCC در این برهه مجموع گذردهی  $49.6$  دارد در حالی که گذردهی روش ارائه‌شده مقدار  $57.2$  می‌باشد.

در نمونه سوم که نرخ  $= 324$  است گذردهی به دست آمده از حل مسأله بهینه‌سازی برابر با  $T_{\lambda_2} = 144$  می‌باشد. این جواب نزدیک به مقدار به دست آمده الگوریتم ( $T_{\lambda_2} = 139$ ) می‌باشد در حالی که روش OCC حتی قادر به کنترل اضافه بار مناسب نشده است. در این بازه زمانی، سه جریان دیگر برای الگوریتم و مسأله بهینه‌سازی گذردهی مشابهی دارند.

برخلاف روش OCC و اغلب الگوریتم‌های کنترل اضافه بار، روش ارائه‌شده در این مقاله نیاز چندانی به پارامترهای تنظیم عملکرد ندارد و البته برای تخمین بهتر  $\alpha$  می‌توان مقادیر  $D_{RTT}$  و  $T_c$  را تنظیم کرد. پارامتر  $T_c$  عموماً  $500$  میلی‌ثانیه است و مطابق با آزمایش‌های انجام‌شده، تغییر  $D_{RTT}$  تأثیر چندانی در پایداری الگوریتم ندارد هر چند که بالا بودن تأخیر، سبب کنترل محتاطانه‌تر و گذردهی مجموع پایین‌تر می‌شود. نکته قابل توجه در مورد الگوریتم ارائه‌شده در این مقاله این است که بدون حل مسأله بهینه‌سازی، به جواب نزدیک به آن دست می‌یابد. حل مسأله بهینه‌سازی در سناریوهای با تعداد پروکسی و جریان زیاد دارای سربار و پیچیدگی محاسباتی بالا است اما روش ارائه‌شده در این مقاله بسیار ساده می‌باشد و با استفاده از پارامتر طول صفحه جریان‌ها و دو شمارنده برای نرخ ورودی و گذردهی در کنار استفاده از یک زمان‌بند نوبت گردشی در پروکسی از نتیجه حل مسأله (۶) پیروی می‌کند.

در آزمایش دوم می‌خواهیم نحوه تخصیص منابع در زمان‌بند نوبت گردشی را با مسأله (۶) مقایسه نماییم. فرض کنید سناریوی آزمایش مطابق با شکل ۱ و فقط پروکسی ۱ دارای اضافه بار باشد. در این آزمایش

### Control Function in $Proxy(i)$

```

1: for all  $j \in L$  do
2:   if  $T_{i,j} = 0$  then
3:      $T_{i,j} \leftarrow T_{min}$ 
4:   end if
5:    $C_{i,j}^{(i)} \leftarrow T_{i,j} + (\lambda_{i,j} - T_{i,j}).w_{req}$ 
6:    $C_{i,j}^{(j)} \leftarrow T_{i,j}$ 
7:   Extract  $Q_{i,j}^{(j)}$  from  $Proxy(j)$  feedback
8:    $\rho_{i,j}^{(i)} \leftarrow \frac{1 - [(1+\alpha)C_{i,j}^{(i)} - Q_{i,j}^{(i)}]}{1 - w_{req}}$ 
9:    $\rho_{i,j}^{(j)} \leftarrow 1 - \frac{(1+\alpha)C_{i,j}^{(j)} - Q_{i,j}^{(j)}}{\lambda_{i,j}}$ 
10:   $\rho_{i,j} \leftarrow max[\rho_{i,j}^{(i)}, \rho_{i,j}^{(j)}]$ 
11:   $\lambda_{i,j} \leftarrow 0$ 
12:   $T_{i,j} \leftarrow 0$ 
13: end for

```

### Processing & Actuator in $Proxy(i)$

```

1: if Message is INVITE then
2:    $\lambda_{i,j} \leftarrow \lambda_{i,j} + 1$ 
3:   if  $rnd[0...1] \geq \rho_{i,j}$  then
4:     Accept & Process INVITE request
5:   else
6:     Reject INVITE request
7:   end if
8: else if Message is 200-OK then
9:    $T_{i,j} \leftarrow T_{i,j} + 1$ 
10:  Process 200-OK
11: else
12:   Process message
13: end if

```

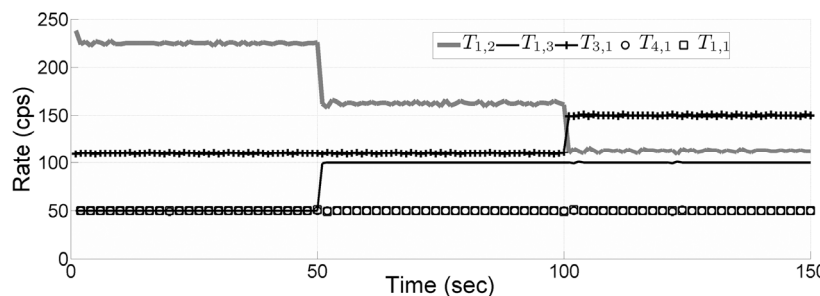
شکل ۷: شبکه کد الگوریتم دنبال شده در پروکسی بالا دست.

و یا  $-OK$  به ترتیب مقادیر  $\lambda_{i,j}$  و  $T_{i,j}$  را به اندازه یک واحد اضافه می‌کنند.

مطابق با قسمت دوم شکل ۷، بخش بکارانداز روش کنترل اضافه بار تنها بر روی تقاضاهای INVITE اجرا شده و با احتمال  $\rho_{i,j}$  تقاضای جدید را رد می‌کند. در صورت پذیرش یک INVITE پروکسی پردازش آن و بقیه پیام‌های مربوط به آن تماس را به عهده می‌گیرد. بخش ناظر پروکسی نیز مکانیزم ساده‌ای دارد و از نمایش شبکه کد آن صرف نظر کرده‌ایم. این بخش در هر برهه طول صفحه جریان مربوطه را در سرایند VIA پیام‌های پاسخ (خصوصاً  $100$ -Trying و یا  $180$ -Ringing) تعیینه می‌کند (مطابق با [۹]).

به منظور بررسی روش ارائه‌شده، توپولوژی شکل ۱ را در نرم‌افزار  $ns$  شبیه‌سازی کردہ‌ایم. در این شبیه‌سازی، پیاده‌سازی کاربران و پروکسی‌های شبکه SIP مطابق با [۱] RFC-۳۲۶۱ انجام شده است. علاوه بر پیاده‌سازی روش ارائه‌شده، روش کنترل اضافه بار OCC نیز به منظور مقایسه کارایی، شبیه‌سازی شده است. پیاده‌سازی روش OCC و پارامترهای استفاده شده در آن مطابق با [۸] انجام شده است.

در جدول ۳ کارایی روش ارائه‌شده، روش OCC و حل مسأله بهینه‌سازی (۶) به ازای سه مدل ترافیک مختلف مقایسه شده است. توپولوژی آزمایش مطابق با شکل ۳ می‌باشد و همچنین ظرفیت هر دو



شکل ۸: بررسی کارایی الگوریتم ارائه شده در سناریوی شکل ۱ هنگامی که فقط پروکسی ۱ دارای اضافه بار باشد و نرخ‌های ورودی مطابق با جدول ۴ باشند.

جدول ۳: مقایسه کارایی الگوریتم ارائه شده با روش OCC و حل مسأله بهینه‌سازی.

$\lambda$	الگوریتم ارائه شده	OCC	روش حل مسأله بهینه‌سازی (۶)
$\lambda = \begin{bmatrix} 100 & 180 \\ 180 & 100 \end{bmatrix}$	$T = \begin{bmatrix} 100 & 179 \\ 179 & 100 \end{bmatrix}$ $T_{Overall} = 558$	$T = \begin{bmatrix} 89 & 16 \\ 160 & 89 \end{bmatrix}$ $T_{Overall} = 498$	$T = \begin{bmatrix} 100 & 180 \\ 180 & 100 \end{bmatrix}$ $T_{Overall} = 558$
$\lambda = \begin{bmatrix} 200 & 200 \\ 200 & 200 \end{bmatrix}$	$T = \begin{bmatrix} 143 & 143 \\ 143 & 143 \end{bmatrix}$ $T_{Overall} = 572$	$T = \begin{bmatrix} 124 & 124 \\ 124 & 124 \end{bmatrix}$ $T_{Overall} = 496$	$T = \begin{bmatrix} 141,67 & 141,67 \\ 141,67 & 141,67 \end{bmatrix}$ $T_{Overall} = 566,66$
$\lambda = \begin{bmatrix} 100 & 334 \\ 180 & 100 \end{bmatrix}$	$T = \begin{bmatrix} 100 & 139 \\ 180 & 100 \end{bmatrix}$ $T_{Overall} < 42.$	$T_{Overall} < 42.$	$T = \begin{bmatrix} 100 & 144 \\ 180 & 100 \end{bmatrix}$ $T_{Overall} = 524$

جدول ۵: گزندگی حاصل از حل مسأله بهینه‌سازی (۶).

	$T_{1,1}$	$T_{1,2}$	$T_{1,3}$	$T_{2,1}$	$T_{2,2}$	زمان (ثانیه)
	۵۰	۲۲۵	۵۰	۱۱۰	۵۰	۵۰-۱
	۵۰	۱۶۲,۵	۱۰۰	۱۱۰	۵۰	۱۰۰-۵۰
	۵۰	۱۱۲,۵	۱۰۰	۱۵۰	۵۰	۱۵۰-۱۰۰

جدول ۶: نرخ ورودی آزمایش در یک پروکسی با پنج جریان.

زمان (ثانیه)	$\lambda_{1,1}$	$\lambda_{1,2}$	$\lambda_{1,3}$	$\lambda_{2,1}$	$\lambda_{2,2}$
۵۰-۱	۵۰	۳۰۰	۵۰	۱۱۰	۵۰
۱۰۰-۵۰	۵۰	۳۰۰	۱۰۰	۱۱۰	۵۰
۱۵۰-۱۰۰	۵۰	۳۰۰	۱۰۰	۲۰۰	۵۰

قبل بسیار دقیق عمل می‌کند و به عدالت max-min متنهی می‌شود. همچنین عملکرد روش کنترل اضافه بار ارائه شده نیز در کارکرد آن خلیل ایجاد نمی‌کند. به عنوان مثال در برره ۱۰۰-۵۰-۵۰-۱۰۰، که تنها جریان  $\lambda_{1,2}$  بیشتر از سهم خود بار ورودی دارد، گزندگی در اطراف ۱۶۲/۵ دریافت می‌کند و چهار جریان دیگر که نرخ ورودی کمتر از سهم دارند گزندگی کامل و بدون نوسان دریافت می‌کنند. به عبارتی سیاست نوبت گردشی تنها وقتی نوبت این جریان‌ها را به جریان  $\lambda_{1,2}$  اختصاص داده است که طول صاف آنها برابر با صفر بوده و تقاضای برای پردازش نداشته‌اند. در برره سوم (۱۰۰-۱۵۰)، جریان  $\lambda_{1,2}$  به نرخ ۲۰۰ تماس در ثانیه و بیشتر از سهم خود افزایش می‌یابد و بنابراین سهم جریان‌های  $\lambda_{1,2}$  و  $\lambda_{2,1}$  برابر با ۱۵۰ می‌باشد. در این برره با توجه به این که ردکردن بار مازاد جریان  $\lambda_{1,2}$  در پروکسی ۳ انجام می‌شود (که اضافه بار ندارد)، این جریان به گزندگی برابر با سهم اختصاصی در پروکسی ۱ دست پیدا می‌کند (۱۵۰) در حالی که جریان  $\lambda_{1,2}$  به گزندگی ۱۱۲/۵ دست پیدا کرده و پروکسی ۱ مقدار سهم  $37/5$  را صرف ردکردن  $187/5$  تقاضای مازاد بر ظرفیت می‌کند.

## ۵- نتیجه‌گیری

در این مقاله مسأله بهینه‌سازی شبکه‌های مبتنی بر SIP در قالب سناریوی با یک یا دو پروکسی میانی مدل شده که پیچیده‌ترین توپولوژی مطالعه شده در بحث کنترل اضافه بار SIP می‌باشد. همچنین با توجه به این که سربار رددکردن تقاضاهای مازاد بر ظرفیت، قابل چشم‌پوشی نیست در مسأله بهینه‌سازی اضافه شده و مورد بررسی قرار گرفته است.

نرخ جریان‌های عبوری از پروکسی ۱ مطابق با جدول ۴ و ظرفیت پروکسی ۱ برابر با ۵۰۰ تماس در ثانیه تنظیم شده است. در جدول ۵ گزندگی حاصل از حل مسأله بهینه‌سازی (۶) توسط ابزار CVX در هر یک از سه برره آزمایش نشان داده شده است. همان‌طور که ذکر شد جواب حل مسأله بهینه‌سازی (۶) به عدالت max-min متنهی خواهد شد. به عبارتی پروکسی ۱ به منظور رعایت رعایت سهم عادلانه جریان‌ها برای هر یک سهم فرضی ( $C_i/L$ ) را در نظر می‌گیرد، هر چند که تمامی جریان‌ها به اندازه سهم فرضی نرخ ورودی ندارند. بنابراین ابتدا به جریان‌هایی که کمتر از سهم فرضی نرخ ورودی دارند گزندگی کامل را اختصاص می‌دهد و با ظرفیت باقیمانده به جریان‌های دیگر که بیشتر از سهم فرضی نرخ ورودی دارند به مقدار مساوی سهم اختصاص می‌دهد. به عنوان مثال در برره ۱۰۰-۵۰-۱۰۰ آزمایش، سهم فرضی اولیه هر جریان برابر با ۱۰۰ می‌باشد. هر چند که سه جریان  $\lambda_{1,1}, \lambda_{1,2}, \lambda_{2,1}$  نرخ کمتر و یا برابر با این سهم دارند. بنابراین به گزندگی کامل دست پیدا می‌کنند و باقیمانده سهم آنها به دیگر جریان‌ها تعلق می‌گیرد. ظرفیت باقیمانده بعد از تخصیص به این سه جریان برابر با ۳۰۰ و بنابراین سهم فرضی هر یک از دو جریان دیگر برابر با ۱۵۰ می‌باشد. هر چند که جریان  $\lambda_{1,2}$  نیز بار ورودی ۱۱۰ و کمتر از سهم فرضی محاسبه شده در این مرحله دارد و بنابراین گزندگی کامل دریافت می‌کند و در انتهای ظرفیت باقیمانده ۱۹۰ تماس در ثانیه و ردکردن  $137/5$  تماس با مجموع هزینه  $27/5$  می‌شود.

در شکل ۸ نتیجه شبیه‌سازی برای این آزمایش نشان داده شده است. طبق این شکل، سرویس‌دهی نوبت گردشی با جزئیات ذکر شده در بخش

- Communications and Signal Processing, ICCSP'15*, pp. 1296-1300, Melmaruvathur, India, 2-4 Apr. 2015.
- [16] G. Mishra, S. Dharmaraja, and S. Kar, "Reducing session establishment delay using timed out packets in SIP signaling network," *International J. of Communication Systems*, vol. 29, no. 2, pp. 262-276, Jan. 2016.
- [17] B. Upadhyay, A. Mishra, and S. B. Upadhyay, "AIPC: counter-active analysis of overload control mechanism for sip server," *International J. of Computer Engineering & Technology*, vol. 1, no. 1, pp. 128-140, Jan. 2014.
- [18] J. Liao, et al., "A distributed end-to-end overload control mechanism for networks of SIP servers," *The International J. of Computer and Telecommunications Networking*, vol. 56, no. 12, pp. 2847-2868, Aug. 2012.
- [19] M. Jahanbakhsh, S. V. Azhari, J. Enayati-Zadeh, and M. Baghdadi, "Local and distributed SIP overload control solution improving sustainability of sip networks," *Int. J. Commun. Syst.*, vol. 30, 27 pp., Apr. 2017.
- [20] J. Wang, J. Liao, T. Li, J. Wang, J. Wang, and Q. Qi, "Probe-based end-to-end overload control for networks of SIP servers," *J. of Network and Computer Applications*, vol. 41, pp. 114-125, May 2014.
- [21] M. Homayouni, H. Nemati, V. Azhari, and A. Akbari, "Controlling overload in SIP proxies: an adaptive window based approach using no explicit feedback," in *Proc. IEEE Global Communications Conf., GLOBECOM'10*, 5 pp. Miami, FL, USA, 6-10 Dec. 2010.
- [22] A. Coluccia, A. D. Alconzo, and F. Ricciato, "On the optimality of max-min fairness in resource allocation," *Annals of Telecommunications*, vol. 67, no. 1-2, pp. 15-26, Feb. 2012.
- [23] S. V. Azhari and H. Nemati, "Stability analysis of tandem SIP proxies," in *Proc. IEEE Int Conf. on Communications, ICC'12*, pp. 1244-1248, Ottawa, ON, Canada, 10-15 Jun. 2012.
- [24] M. Grant and S. Boyd, *CVX: MATLAB software for Disciplined Convex Programming*, <http://stanford.edu/~boyd/cvx>
- [25] M. Shreedhar and G. Varghese, "Efficient fair queueing using deficit round-robin," *IEEE/ACM Trans. on Networking*, vol. 4, no. 3, pp. 375-385, Jun. 1996.

مجتبی جهانبخش در سال ۱۳۸۵ مدرک کارشناسی مهندسی کامپیوتر خود را از دانشگاه اصفهان و در سال ۱۳۸۸ مدرک کارشناسی ارشد خود را از دانشگاه علم و صنعت ایران دریافت نمود و در حال تحصیل در مقطع دکترا در این دانشگاه می‌باشد. زمینه‌های تحقیقاتی مورد علاقه ایشان شامل پروتکل‌ها و سرویس‌های وابسته به سیستم‌های چندرسانه‌ای، کنترل اضافه بار و اینترنت اشیاء است، ایشان توجه خاصی به ارزیابی عملیاتی راه‌کارهای ارایه شده دارد که حاصل آن توسعه چندین بستر آزمایش همه منظوره در محیط دانشگاهی است.

سید وحید ازهري استادیار دانشکده کامپیوتر دانشگاه علم و صنعت ایران می‌باشد. وی دکترای تخصصی خود را در رشته مهندسی برق و کامپیوتر از دانشگاه مکمستر کانادا در سال ۱۳۸۶ دریافت نمود. زمینه تخصصی وی شبکه‌های بی‌سیم، شبکه‌های کامپیوتری و رایانش سبز می‌باشد. ایشان بالغ بر ۱۰ سال است که در زمینه پروتکل SIP مشغول فعالیت پژوهشی می‌باشد. حاصل فعالیت‌های ایشان در این حوزه شامل الگوریتم‌های متعدد کنترل اضافه بار و همچنین توسعه اولین بستر تست IMS در ایران است.

وحید قاسمخانی در سال ۱۳۸۹ مدرک کارشناسی مهندسی نرم افزار خود را از دانشکده فنی شمسی پور تهران و در سال ۱۳۹۲ مدرک کارشناسی ارشد شبکه‌های کامپیوتری خود را از دانشگاه علم و صنعت ایران دریافت نمود. نامبرده موفق شد در هر دو دوره تحصیلی مذکور به عنوان دانشجوی ممتاز فارغ التحصیل شود. وی با توجه به داشتن علاقه زیاد در زمینه شبکه‌های کامپیوتری و سیستم‌های چند رسانه‌ای بر بستر IP بالاگله وارد این صنعت شد و هم‌اکنون به عنوان مدیر طراحی و توسعه سیستم‌های IPTV/OTT فعالیت می‌کند.

حداکثرسازی مجموع گزندرهی در اغلب سناریوها منجر به لطمeh خودرن به ترافیک بین دامنه‌ای پروکسی‌ها می‌شود و بنابراین در ادامه به منظور اضافه‌نمودن عدالت max-min به بررسی تحلیلی تابع هدف حداقل مربعات پرداخته شد و یک روش کنترل اضافه بار با عدالت max-min در انواع توبولوژی‌ها از جمله توبولوژی پیچیده مطرح شده در این مقاله کارایی مناسبی دارد. از کارهای آتی در راستای بهینه‌سازی کنترل اضافه بار در شبکه‌های مبتنی بر SIP، بررسی دقیق‌تر عدالت سراسری max-min و مطالعه بر روی دیگر توابع هدف جالب مثل میانگین هندسی، جهت رعایت حداقل گزندرهی تعیین شده برای جریان‌ها می‌باشد.

## مراجع

- [1] J. Rosenberg, et al., *SIP: Session Initiation Protocol*, IETF (RFC 3261), Jun. 2002.
- [2] J. Rosenberg, *Requirements for Management of Overload in the Session Initiation Protocol*, RFC-5390 (Informational), Dec. 2008.
- [3] E. Noel and C. Johnson, "Novel overload controls for SIP networks," in *Proc. 21st Int. Teletraffic Congress*, 8 pp., Sept. 2009.
- [4] M. Ohta, "Overload control in a SIP signaling network," *International Journal of Computer, Electrical, Automation, Control and Information Engineering*, vol. 1, no. 12, pp. 4076-4081, Dec. 2007.
- [5] S. Montagna and M. Pignolo, "Load control techniques in SIP signaling servers using multiple thresholds," in *Proc. the 13th Int. Telecommunications Network Strategy and Planning Symp.*, 6 pp., Sept. 2008.
- [6] M. Khazaei and N. Mozayani, "A dynamic distributed overload control mechanism in SIP networks with holonic multi-agent systems," *Telecommun Syst.*, DOI 10.1007/s11235-015-0133-3, Dec. 2015.
- [7] L. De Cicco, G. Cofano, and S. Mascolo, "Local SIP overload control: controller design and optimization by extremum seeking," *IEEE Trans. on Control of Network Systems*, vol. 2, no. 3, pp. 267-277, Feb. 2015.
- [8] V. Hilt and I. Widjaja, "Controlling overload in networks of SIP servers," in *Proc. of IEEE Int. Conf. on Network Protocols, ICNP'08*, pp. 83-93, Orlando, FL, USA, 19-22 Oct. 2008.
- [9] V. Gurbani, V. Hilt, and H. Schulzrinne, *Session Initiation Protocol (SIP) Overload Control*, Internet Engineering Task Force (IETF), RFC-7339, ISSN: 2070-1721, Sep. 2014.
- [10] E. Noel and P. M. Williams, "Session Initiation Protocol (SIP) Rate Control," Internet Engineering Task Force (IETF), RFC-7415, Feb. 2015.
- [11] C. Shen, H. Schulzrinne, and E. Nahum, "Session initiation protocol (SIP) server overload control: design and evaluation," in *Principles, Systems and Applications of IP Telecommunications, Services and Security for Next Generation Networks*, Springer, pp. 149-173, 2008.
- [12] M. Chiang, S. H. Low, A. R. Calderbank, and J. C. Doyle, "Layering as optimization decomposition: a mathematical theory of network architectures," *Proceedings of the IEEE*, vol. 95, no. 1, pp. 255-312, Jan. 2007.
- [13] F. P. Kelly, A. Maulloo, and D. Tan, "Rate control for communication networks: shadow prices, proportional fairness and stability," *J. Operations Res. Soc.*, vol. 49, no. 3, pp. 237-252, Mar. 1998.
- [14] R. G. Garropo, S. Giordano, S. Niccolini, and S. Spagna, "A prediction-based overload control algorithm for SIP servers," *IEEE Trans. on Network and Service Management*, vol. 8, no. 1, pp. 39-51, Mar. 2011.
- [15] A. Akbar, S. Mahaboob Basha, and S. A. Satar, "A cooperative overload control method for SIP servers," in *Proc. Int. Conf. on*